多参数智能手环监护系统的设计与研究

吴亮亮 ¹ 白玉军 ² WU Liangliang BAI Yujun

摘要

针对老年人及病患群体生命体征监测需求迫切、传统监护设备便携性不足且功能单一的问题,文章设计了一款腕带式小型电子监护仪,通过硬件方案优化与软件算法改进,实现对特定人群的 24 h 连续无障碍监测。通过监测范围包括心电、心率、脉搏率、体温、血氧饱和度、情绪压力等多个参数,可实时定位跟踪监测、远程跌倒预警,操作简单,携带方便,具备功耗更低和鲁棒性更高的特点。特别是监护人可通过查看定位及时掌握被监护人的所在位置,让病患能及时得到帮助和救治。

关键词

实时监护; 远程预警; 防跌倒跟踪; 便携式; STM32; 低功耗

doi: 10.3969/j.issn.1672-9528.2025.08.031

随着少子化、老龄化时代的到来,为了更好地呵护年迈独居老人、离院观察的病人或患有慢性疾病的人群,将疾病或意外对机体的损害降至最低,拥有一款智能化 $24 \, h \,$ 系统检测心电(electrocardiogram, ECG)、心率(heart rate, HR)、血氧(SpO_2)、体温(temperature, TEMP)、情绪、活动跟踪和跌倒检测等重要生命体征,同时具备定位和远程预警呼救功能,且携带操作方便的监护仪是十分必要的。目前市场相关产品还普遍存在产品功耗大、续航时间短、数据准确性有偏差、人机适配性不够强等问题,没有达到医疗标准,不能给用户提供更可靠的医疗建议。

本系统主要包括硬件平台设计、软件算法搭建两部分。硬件平台完成信息采集、处理、显示;软件包括可移植FreeRTOS 系统、主控 MCU 与低噪声光学光电容积脉搏波(photoplethysmography, PPG)和电气 ECG 模拟前端(analog front end, AFE)以及体温传感器等硬件之间流程设计,以及设计信号去噪声算法比较研究和功耗计算。

1 系统硬件设计

1.1 系统整体架构

系统由电源管理、MCU、传感器、显示、定位加通信模块 5 个模块组成。MCU 外带闪存 FLASH MEMORY。如图 1 所示。

[基金项目] 2023 年度福建省中青年教师教育科研项目(科技类)"多参数智能手环监护系统的设计与研究"(JAT231287)

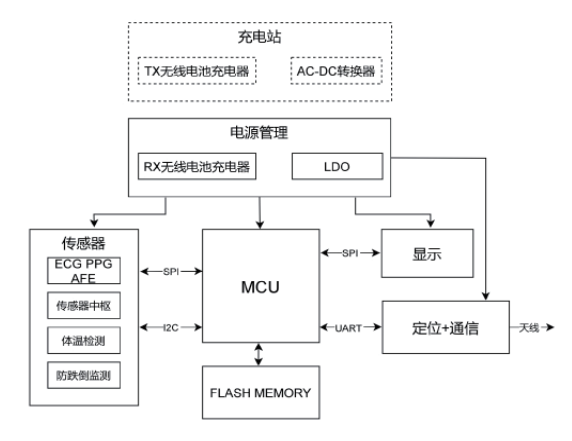


图1系统整体框图

1.2 传感器——前端监测模块

本模块用以实现心电、心率、血氧饱和度、体温、跌倒、压力等多参数生命体征监测。观测生命体征有心率 [50~80 BPM]、心电、压力、睡眠质量、体温(36.3~37.2 ℃)、呼吸率(12~20 次/mm)等,监测的信息数据可以帮助医生提出有效诊断结论,或判定治疗和用药的后期效果。

心电等信号的检测电路需要有处理各种干扰的能力。 主要影响的有工频干扰,肌电(electromyogram, EMG)干 扰。工频干扰主要来自电磁设备本身或其他用电设备引起的 50 Hz 的工频噪声,因此放大电路输入级要有差分电路等能 够抑制这种共模信号噪声的设计。

肌电干扰,频率范围一般是 10~3 000 Hz 之间,较常见是 35 Hz, 因此电路需有 35 Hz 的陷波器和低通滤波器。

心电信号频率主要落在 0.05~100 Hz 之间,为降低噪声一般牺牲其他频段。实际带宽设置算法上主要看针对性的需求:一般的心率监护(heartratemonitor, HRM)带宽设置 0.5~40 Hz; 主要观测 ST 段波形(ST 段的评估用于确定 STEMI),带宽可设置 0.05~40 Hz; 如果要检测起搏信号,

^{1.} 厦门南洋职业学院 福建厦门 361102

^{2.} 京伟农生物科技有限公司 北京 100079

带宽甚至要扩大到至少 100 kHz。

基于奈奎斯特采样定理,心电信号频率取带宽为 $0.05\sim100~{\rm Hz}$,采样频率要求高于模拟信号频率分量两倍以上,心电信号采样频率需 $200~{\rm Hz}$ 以上,工程上一般选择 $2.56~f_{\rm max}$ ($f_{\rm max}$ 为被测信号最大频率),为保证信号幅值尽可能不失真,采样频率选择 $10~{\rm G}$,即设置采样频率 $1~000~{\rm Hz}$ 。

1.2.1 ECG+PPG 模拟前端 AFE

监测一个完整的心跳周期有 P- 波(心房收缩)、QRS(心室兴奋)、T- 波(心室激动后的复原活动)。心电监测采用 ECG 法,电路设计主要电气要求有:带宽 $0.05\sim150~\text{Hz}$ 、幅度 $1\sim10~\text{mVpp}$ 、噪声 RTI $10~\text{\muVpp}$ 和差分输入电压范围 $\pm1~\text{V}$ 。

监测心血管压力和容积的方法采用 PPG 光学容积描述法。主要有透射法和反射法。透射法是在被检测部分两侧相对放置发射器和接收器。光沿肌肉传播,然后在传感器另一侧予以捕捉。反射法是在被检测部分同一侧放置发射器和接收器。光穿过皮肤,其中一部分被反射到传感器上。

用红外或者红色光源测量手指、耳垂处的动脉血能获得最佳测量精度。考虑到使用的舒适性和受欢迎程度,本产品采用手环式。手腕表层主要是静脉血,血液对绿光吸收率较高,信号幅度大,噪声小,要收集手腕中静脉和毛细血管的动脉成分,PPG测量时采用 540 nm 波长绿光,反射式模式测量心率。

血液中氧合血红蛋白 HbO, 对红光吸收少, 反射光多;

脱氧血红蛋白则是吸收少,反射光多。两者对红外光都吸收少,反射多。

血氧饱和度计算公式为:

$$S_{pO_2} = \frac{C_{HbO_2}}{C_{HbO_2} + C_{Hb}} \times 100\% = R/IR$$
 (1)

式中: C_{HbO_2} 为氧合血红蛋白 HbO_2 的浓度; C_{Hb} 为脱氧血红蛋白 Hb 的浓度; R/IR 为红光 / 红外光反射光的比率。

脱氧血红蛋白主要吸收 660 nm 波长的光,而氧合血红蛋白主要吸收 940 nm 波长的光。因此血氧测定使用 660 nm 波长红光 LED 和 940 nm 波长红外 (IR) LED。

目前监测生命体征的模拟前端主流芯片有 ADI 亚德诺 MAX86176、汇顶科技 GH3220、南京天易合芯 HX3690Q、北京高芯科技 BAC201、暖芯迦(Nanochap)EPC001、芯海 科技 CS1262 等。以上芯片应用上都能读取心电、心率和血氧饱和度信号,MAX86176 还有肌肉和组织氧饱和度(SmO_2 和 StO_2)、身体含水量检测等应用;EPC001 还有肌电信号、脑电信号检测等应用。检测精度和通信方式几款芯片相差无几。MAX86176 功耗和尺寸上较其他几款略胜一筹。

以上适用于可穿戴健康应用的芯片通过关键参数综合比较,并适用于监测手腕部位的芯片,电路设计选用MAX86176。

如 图 2 所 示, MAX86176 通 过 高 速 SPI 接 口 连 接 MCU。C3(AGND)和 F4(PGND)模拟地和功率地网络区分开连接。AVDD 和 DVDD 连接 1.8 V 电源同时并接 10 μF

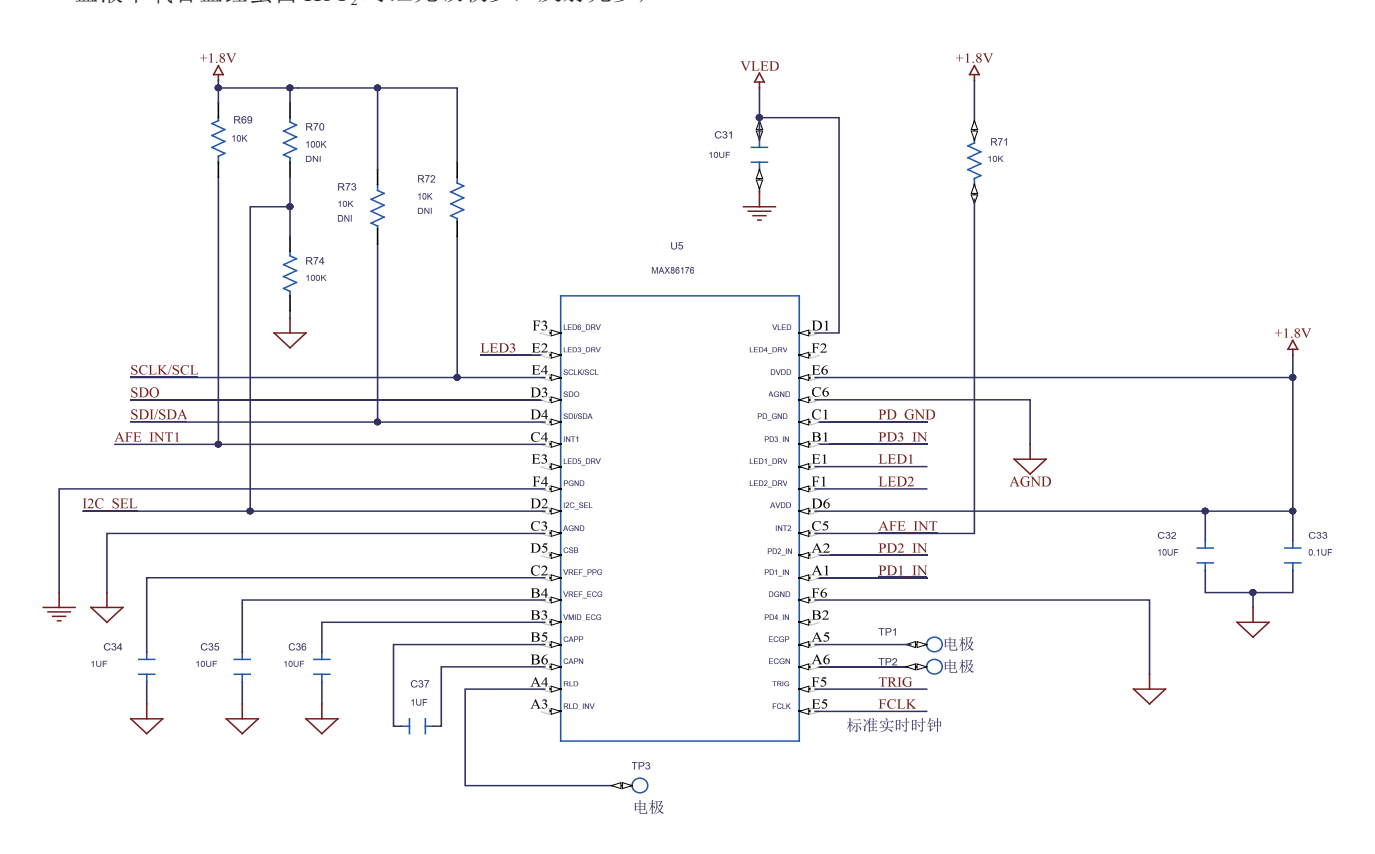


图 2 PPG+ECG AFE 监测模块电路原理图

和 0.1 μF 去耦电容接地。引脚 E1(LED1_DRV)接 530 nm 绿光 LED, E2(LED3_DRV)接 660 nm 红光 LED, F1(LED2_DRV)接 940 nm 红外 LED。E4(SCLK/SCL)、D3(SDO)D4(SDI/SDA),F5(TRIG)分别连接加速度计 LIS2DS12 姿态传感器 1、3、4、12 引脚。E5(FCLK)连接 MCU 外接的标准实时时钟 32 768 Hz。C5(AFE_INT)连接 MCU。A1(PD1_IN)、A2(PD2_IN)、B1(PD3_IN)分别接峰值波长 850 nm 的 3 个光敏二极管 K 端,C1(PD_GND)接 3 个光敏二极管 A 端。

模拟地、数字地和 C1 (PD_GND) 在电源回流点上做星形连接,限制其回流,减小线阻引起的误差,以提高线路电压的测量精度。连接如图 3 所示。

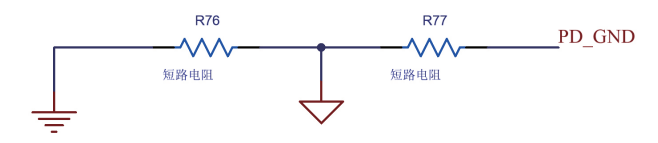


图 3 接地点的星形连接

情绪压力大会引发失眠、饮食紊乱、抑郁、焦虑和恐慌、感冒和病毒、循环系统疾病,甚至引发心脏病和癌症,因此压力监测也是健康监测的重要环节。本模块设计增加在监测数据情况不理想时,做出"进行呼吸训练"等提示措施来改善和缓解。压力情绪监测和睡眠质量算法内置在传感器中枢(Sensor hub)中,传感器中枢同时管理传感器 AFE。

1.2.2 体温检测

MAX30208 低功耗、高精度数字温度传感器精度为 0.1 ℃,满足临床温度监测要求。2 mm×2 mm 小型封装,易于集成到可穿戴设备中。与同类产品解决方案相比,其工作电流降低了 33%。使用时安装在柔性电缆或 PCB 上,读取封装顶部的温度。

如图 4 所示,MAX30208 模块连接铝片测量体表温度。 SCL 和 SDA 引脚分别接 MCU 的 I^2 C1 的 PB8、PB9,并通过 4.7 kΩ上拉接电源 1.8 V,电源端接 0.1 μF 旁路电容接地。 这些引脚由柔性扁平电缆 FFC 与 MCU 相连。

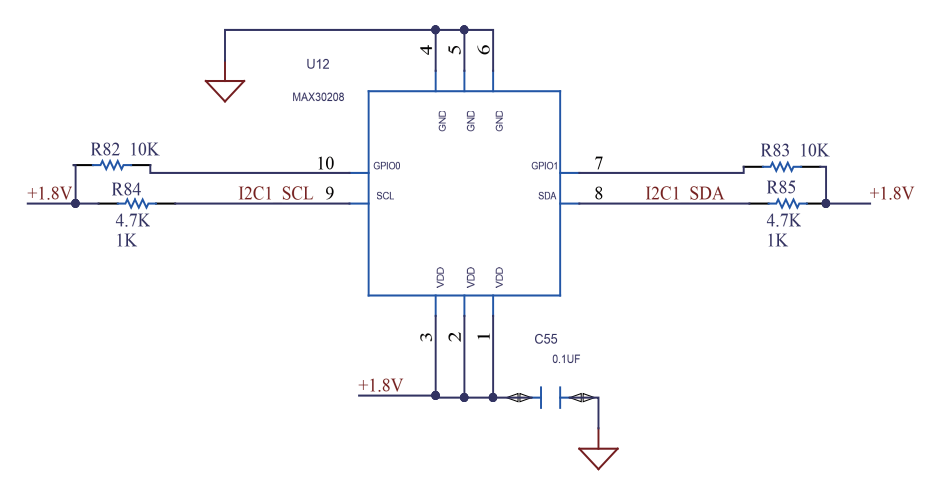


图 4 体温检测模块原理图

1.2.3 防跌倒监测

LIS2DS12 是一款超低功率、高性能的三轴加速度计,是计步、检测跌倒等用户大幅运动时的姿态传感器。LIS2DS12 内部的 16 位 ADC,即使在低重力(g)设置下,也能提供高分辨率的数据输出,确保高精度的加速度测量。振动模式下的电流消耗非常低,在高分辨率模式下功耗 150 μA,在低功耗模式下功耗不超过 80 μA。

跌倒会计算加速度,避免用户弯腰、躺下休息发生误报警。一旦发生跌倒,屏幕出现是否取消报警信息发送,如果情况不严重,用户可自行爬起,点击取消报警键可取消报警,否则 60 s 后发送报警及定位信息。

1.3 MCU 和显示模块

MCU 选用的关键是在满足功能(计算能力、内存、通信接口等)基础上,选用低功耗低成本高集成度的产品。

应用领域需要大量浮点数据的运算,且要具有 DSP 和FPU,加上成本、能效、休眠效率、集成度几个方面的比较,选用超低功耗 ARM Cortex-M4 微控制器,本设计选用STM32L4R9AII6。主控 MCU 电路在完成时钟、SWD 下载、电源这几个最小系统所要求的电路外,再通过串口 UART、SPI、I²C接口和传感器、定位通信、闪存、显示屏这几个模块相接即可。

PCB 设计时注意 STM32L4R9AII6 的每个 VDD 引脚和接地引脚间都接上 100 nF 的去耦电容,PCB 上要紧靠 MCU。MCU 信息存储在 32 MB 的 Flash Memory 卡中。用户手机用 ST BLE Sensor 界面,通过通信模块需要时可以随时读取数据。

相比LCD屏,本系统显示模块采用更轻薄、柔性、自发光、低 功 耗 的 AMOLED (active-matrix organic light-emitting diode)。AMOLED屏幕选用天马微 1.64 的 TA016XVHM01型号,用 SPI 接口连接 MCU,该型号的显示屏在保持高性能的同时,通过优化设计实现了更低的能耗,有助于延长智能设备的电池寿命,在各种环境下都能稳定工作,满足智能手环在户外运动和其他严苛条件下的使用需求。屏幕表面是四曲面玻璃。

手环带用亲肤的氟橡胶防敏表带,特 别是皮肤敏感的用户使用起来也能觉 得舒适。

1.4 电源管理模块

电源部分要能为MCU、显示器、传感器供电,要具备高集成度、可充电、小尺寸、舒适性、低功耗、抑制噪声和纹波,电源保护等特点。本系统采用无线电池充电,电能通过充电垫(TX)与手环的电池供电设备(RX)之间的电磁感应(感应电能)进行传输。无线充电器接收器IC选用STWLC38,无线充电

器 发 射 器 IC 选 用 STWBC86。STWLC38 封 装 WLCSP40(2.126 mm×3.327 mm×0.546 mm),尺寸小适合便携产品。输出电压 4~12 V,可提供高达 15 W 的输出功率,具有输出限流和输入电压控制回路的低差线性稳压器,兼容 Qi 1.3 感应无线标准通信协议;在 Tx 模式下输出功率高达 5 W;自适应整流器配置(ARC)模式。本产品用无线充电,没有充电接口,设备防水防尘,可 360 度旋转充电。

STWLC38 做无线充电接收电路如图 5 所示, VSSA 模拟 地、VSSD 数字地、VSSP 电源地三者接地。VSSA 模拟地和 VSS 模拟地通过 4.7 uF 电容相接。VSSD 数字地和 VDD 通 过1uF电容相接。AC1和AC2各自短路后引出线连接线圈, 得到充电交流电压。BOOT1 和 BOOT2 通过 47 nF 自举电容 器分别连接 AC1 和 AC2。调制开关 COMA1、COMA2 和辅 助调制开关 COMB1、COMB2 引脚分别和 AC1、AC2 引脚 之间使用 22 nF 和 10 nF 电容来实现 ASK 调制。VRECT 短 路连接并和 VSSA 之间接 10 µF, 过滤交流纹波, 以实现正 确的负载瞬变响应。NTC 引脚不接 NTC 电阻 (不使用温度 传感引脚),通过100 kΩ 电阻上拉至 VAA。VOUTLDO 线 性调节器输出电压, VSSA 之间接 10 μF 滤波电容。ENB 使 能输入端接地。IEXT 与 VRECT 之间连接电阻, 以抑制整 流输出端产生的过高电压。SCL 和 SDA 通过上拉电阻连接 MCU。低电平有效的中断输出 INTB 引脚通过限流电阻接至 VAA.

1.5 定位加通信模块

因产品对尺寸要求较高,芯片要求远程定位和通信一体 集成,尽可能有更小体积。目前市场上比较出色的主要有: u-blox 的 SARA-R410M、Telit 的 ME310G1-W1、MediaTek 的 MT2625、Qualcomm 的 Snapdragon Wear 4100 Plus、Quectel 的 EG810M-CN 等几款。几款接收灵敏度相差不多;尺寸上 ME310G1-W1 以 13.1×14.3×2.6 小尺寸胜出;功耗方面 ME310G1-W1 和 EG810M-CN 较其他几款略胜一筹。考虑手表对功耗和速率的要求,比起 LTE CAT.4 等其他 LTE 终端能力等级,优先考虑 LTE CAT.1 或者 NB-IoT,后者虽然速率较低,但完全满足需求,重要的是功耗更低。

通过各参数综合比较,ME310G1-W1 略胜 EG810M-CN一筹,但价格是后者两倍以上。产品成本也是非常重要的一环。因此本系统选用 EG810M-CN。图 6 为本模块应用电路图的关键部分。

EG810M-CN 和 MCU 通过主 UART 进行通信,两者之间有三极管电平转换电路转换模块的 UART 所需的电平 1.8 V。执行 AT+QSCLK=1 并确保 MAIN_DTR 保持悬空,可使模块进入休眠模式。

模块在关机状态下,可以通过拉低 PWRKEY 至少700 ms 使模块开机。模块 PWRKEY 通过开集驱动电路连接MCU 控制引脚 PA1 实现开机关机。模块支持 Wi-Fi scan 功能,模块引脚 ANT_MAIN 的天线为获取更佳的射频性能,做 π 型匹配电路, π 型匹配元件(R1、C1、C2)应尽量靠近天线放置。电容和电阻应靠近 VBAT 引脚放置。外部供电电源连接模块时,VBAT 走线宽度应不小于 2 mm。VBAT 走线越长,线宽越宽。

设计上使用微带圆极化天线,天线设计为平面结构,嵌入手环外壳中,直径 10~15 mm 之间,厚度 1~1.5 mm 之间,

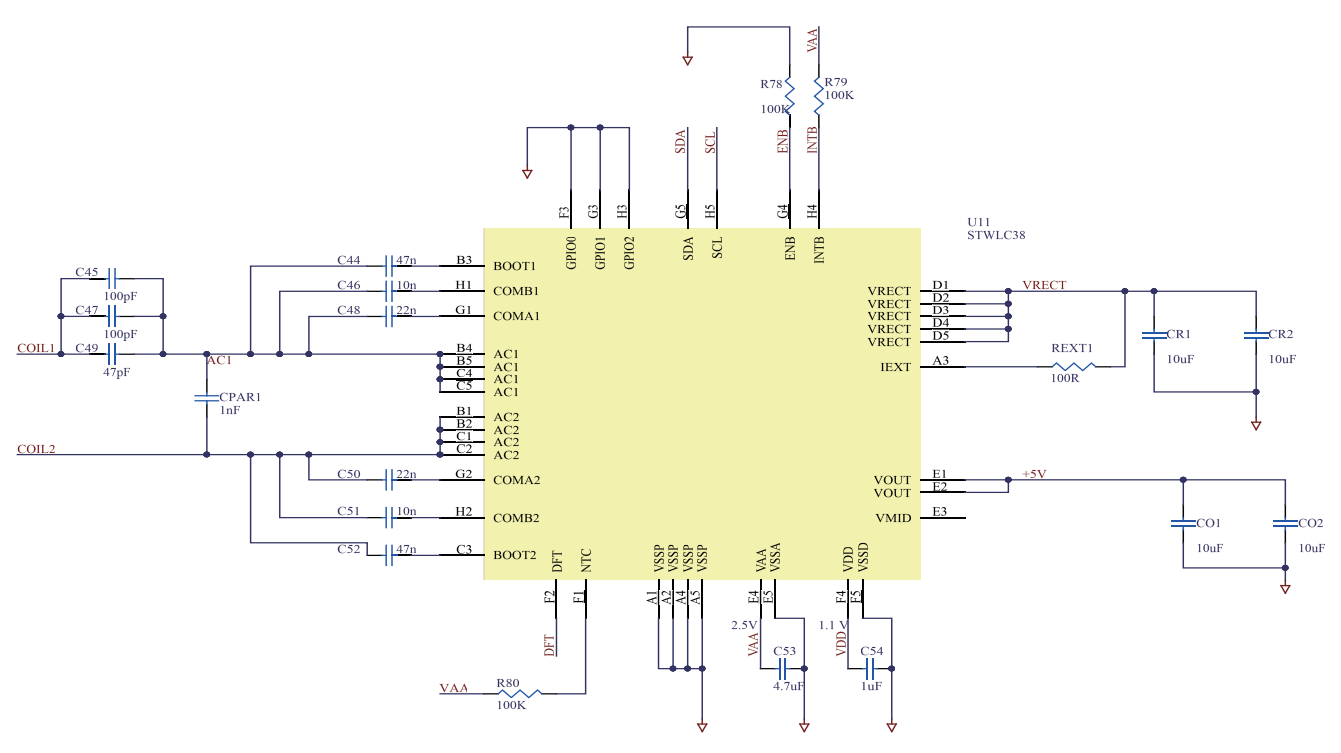


图 5 无线充电接收电路原理图

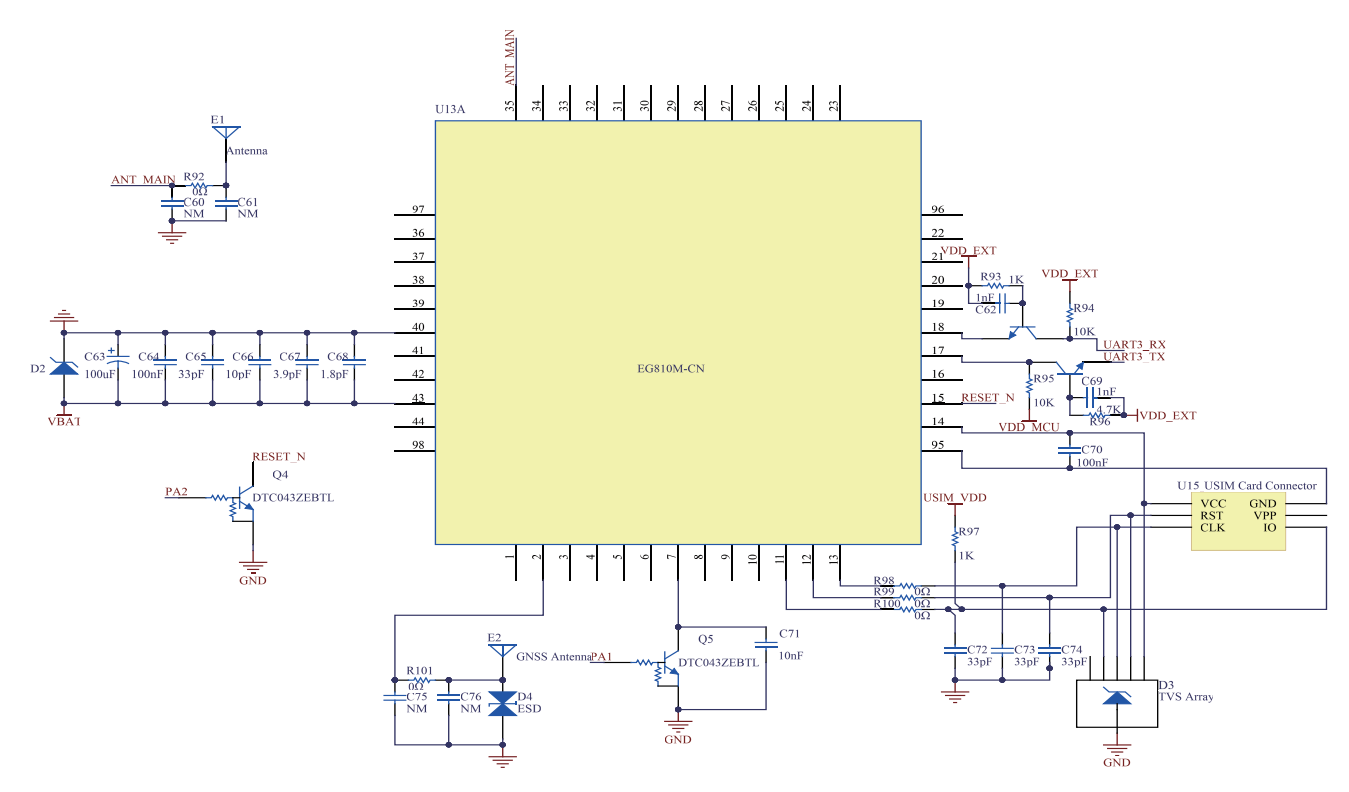


图 6 远程定位报警模块电路原理图关键部分

介质基板使用 Rogers 4350B, 功耗低, 尺寸也满足空间较小 的要求[1-2]。

使用LDO将其转换为3.8V和1.8V,以便为模块 EG810M-CN 和 GNSS 天线供电(其中音频功率放大器、编 解码器未体现)。模块的电源连接 VBAT, 电流必须大于 2.0 A。为了减少电压跌落,需要使用低 ESR (ESR ≤ 0.7Ω)

的 100 μF 滤波电容,同时并联具 有良好 ESR 性能的片式多层陶瓷 电容(MLCC)。

本模块已实现定位和通信功 能,可根据需求拓展实现诸如"用 户吃药提醒"等语音功能,还有视 频通话、在线支付等功能。

2 软件系统设计

2.1 系统整体流程

本系统程序复杂, 任务成功的 可靠性至关重要。采用免费开源的 实时操作系统 (real-time operating systems, RTOS)来实现多任务、 实时性要求高的目标,如图7所示。

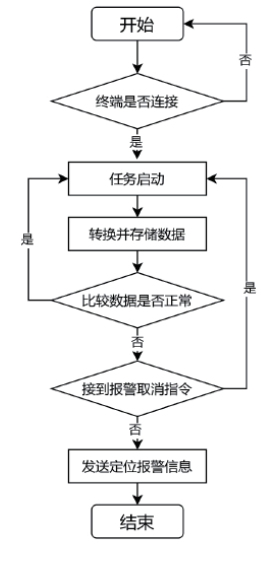


图 7 主系统流程图

2.2 程序算法分析

信号分析使用的数据集用 MIT-BIH 心律失常数据库和 重症监护医疗数据集 (medical information mart for intensive care, MIMIC-III) .

心电信号处理中, 去除噪声是确保信号质量的关键步骤。 心电信号的处理算法常见的有:

- (1) 改进的经验小波变换(EWT), 自适应性强, 适 用于不同类型的心电图(ECG)信号,能够有效去除基线漂 移和肌电干扰^[3]。EWT 通过傅里叶变换将信号转换到频域, 并使用不同的正则化方法进行预处理。具体来说, EWT 利用 局部极小极大值法确定频谱分割边界,实现信号与噪声的分 离。最终通过处理噪声主导分量,达到去除基线漂移的效果。 然而, EWT 需要额外的预处理步骤,增加了处理复杂度。
- (2) 变分模态分解(VMD)结合平滑滤波在去噪效果 方面表现出色,适用于特定频率范围内的噪声^[4]。VMD能 够有效地去除基线漂移和肌电噪声,但其他类型的噪声可能 需要额外处理。
- (3) 经验模式分解(EMD)与 IMF 分量统计特性结合, 经验模式分解(EMD)与固有模态函数(IMF)分量统计特 性相结合的方法适用于非线性、非平稳信号的去噪 [5]。EMD 将信号分解为多个 IMF 分量, 然后根据 IMF 分量的统计特 性(如过零率和相关系数)进行去噪。该方法能够有效保持 信号的原始特征,但 EMD 可能存在模态混叠问题,影响信 号重构的质量。
- (4) 小波阈值去噪技术(Wavelet Thresholding) 计算速 度快且易于实现,适用于实时监控系统[6]。通过选择合适的 小波基对 ECG 信号进行多尺度分解,并使用软/硬阈值法去 除噪声:

$$\widetilde{\omega}_{j,k} = \begin{cases} \operatorname{sign}(\omega_{j,k}) \operatorname{max}(|\omega_{j,k}| - \lambda, 0), \text{ (Soft thresholding)} \\ \omega_{j,k} \cdot \mathbb{I}(|\omega_{j,k}| > \lambda), \text{ (Hard thresholding)} \end{cases} \tag{2}$$

式中: $\omega_{i,\iota}$ 是小波系数; λ 是阈值; $\mathbb{T}(\cdot)$ 是指示函数。

尽管这种方法计算效率高,但在处理复杂噪声时效果有 限,可能会引入伪迹。

通过比较可知,改进的经验小波变换(EWT)和 VMD 结合平滑滤波的方法在去噪效果方面表现出色,能够有效去除 基线漂移和肌电噪声 [7]。EMD 结合 IMF 分量统计特性方法适 用于非线性、非平稳信号的去噪,但可能存在模态混叠问题。 小波阈值去噪技术计算速度快,但在处理复杂噪声时效果有限。 考虑到本系统需要实时监控且计算资源有限, 因此选择了小波 阈值去噪技术以满足实时性和资源约束的需求。

同时, 传感器采用自适应策略, 用户静止时不需要高采 样频率得到高频运动状态数据, 跌倒检测模块将低采样率降 至 10 Hz 以下,可以显著降低传感器的功耗。显示模块和定 位通信采用事件驱动的任务调度方式,同时应用进行数据传 输采用批量传输的方式,减少数据传输的次数,减少数据传 输的耗电量。

2.3 功耗计算

产品续航时间的关键在于各个模块运行功耗和电源转换 效率。为了降低功耗,电源转换采用低功耗 LDO (低压差线 性稳压器),系统选用芯片 TPS7A03 转换 MCU 所需的 3.3 V 和传感器所需的 1.8 V 供电电压。

LDO 功耗计算公式为:

$$P_{\text{A}} = (V_{\text{in}} - V_{\text{out}}) \times I_{\text{load}} + V_{\text{out}} \times I_{\text{load}} + I_{Q} \times V_{\text{in}}$$
 (3)

式中: P_{\bullet} 是总功耗; V_{in} 是输入电压; V_{out} 是输出电压; I_{load} 是负载电流; I_o 是静态电流。PS7A03 典型值 600 nA。

不考虑电池截止电压, 计算运行续航时间, 先分析计算 各个模块典型工作状态下功耗。ECG 模块以及跌倒监测、体 温模块采用轮询方式,显示模块、定位加通信采用触发方式 运行。

系统功耗又分为几个部分。

- (1) LDO 输出电压 3.3 V, 负载是 MCU 和显示屏, STM32L4 在 120 MHz 下典型工作运行状态功耗典型值约为 100 μA/MHz, 睡眠状态下外设仍能运行, 功耗约为 2 μA。 显示屏待机电流约 1~5 μ A, 取 3 μ A 计算可得 P_1 = 518 μ W。
- (2) LDO2 输出电压为 1.8 V, 负载为 AFE 模块, 体 温监测、跌倒监测模块。AFE模块的PPG通道为25 bit/s, ADC 集成时间为 14.6 μs, 工作电流约为 14.6 μA。ECG 通道 在1kHz 采样率下的工作电流约为50μA。

 $=14.6 \mu A + 50 \mu A + 0.5 \mu A = 65.1 \mu A$

体温检测测量模式工作电流约为67μA(每秒测量一 次,每次测量15 ms);跌倒监测模块低功耗模式(在 ODR=1 Hz 时) 工作电流: $0.5 \, \mu A$ 。可得 $P_2 = 666 \, \mu W$ 。定位 通信模块 AT+CFUN=0, 待机功耗 P_3 约为 3.876 mW。

$$P_{14} = P_1 + P_2 + P_3$$

$$= 518 \mu W + 666 \mu W + 3.876 \text{ mW} = 5.060 \text{ mW}$$
 (5)

以使用 100 mAh 体积最小可充电电池保守估算:

$$I = \frac{P}{V} = 5.060 \text{ mW/5V} = 1.012 \text{ mA}$$
 (6)

典型工作运行续航时间 = 100 mAh/1.012 mA≈98.81 h 通过保守分析计算可得, 本系统运行时续航时间较市场 上中低端产品的 1.2 倍以上,如果使用 200 mAh 或者更大容 量电池将有更长的工作时间。

3 总结

经过不同选型参数比较,选用功耗和性能更先进的传感 器,完成最适用于健康智能监护手环的各模块的电路,完成 传感器,主控 MCU、远程通信、含无线充电的电源等各模 块电路图。软件方面比较不同算法,制定最适合本系统的算 法。最后分析计算功耗,确定本系统功耗低,续航时间长的 特点,对于相关产品实际开发有重要参考价值。但系统仍有 不足之处,需要在下一步产品硬件中调试算法,并完善人机 互动界面。

参考文献:

- [1] 李慧,郑文睿.一种金属边框智能手表圆极化天线的设计 方法: 2023 年全国天线年会论文集(下)[C]. 北京: 中国 电子学会, 2023.
- [2] 杨洪财. 柔性可穿戴圆极化天线研究 [D]. 广州: 华南理工 大学, 2022.
- [3] 耿读艳,赵宁,庞耕,等.改进EWT 算法的心电信号去噪 研究 [J]. 电子测量技术, 2021,44(23):30-35.
- [4] 魏平俊, 杨耀华, 胡征慧, 等. 基于 VMD 和平滑滤波的 ECG 去噪方法 [J]. 电工技术, 2023(9):17-21.
- [5] 卢莉蓉, 牛晓东, 王鉴, 等. 基于 EMD 与 IMF 分量统计 特性的 ECG 去噪 [J]. 中国医学物理学杂志, 2021, 38(12): 1529-1534.
- [6] 朱金玲. 小波阈值去噪技术在 ECG 信号处理中的应用 [J]. 中国高新科技, 2022(4):88-89.
- [7] 梁莹, 马小龙, 朝乐蒙, 等. 基于经验小波变换的心电信 号基线漂移噪声去除预处理方法研究[J]. 医疗卫生装备, 2022, 43(6): 7-13.
- [8] 曾英. 心内科用便携式心电监护仪抗干扰方法研究 [J]. 自 动化与仪器仪表,2020(6):156-159.

【作者简介】

吴亮亮(1983-),女,福建厦门人,硕士研究生,副教授, 研究方向: 自动化控制。

(收稿日期: 2025-03-25 修回日期: 2025-07-30)